

# 高能质子引起的核内级联过程

陈 翔

**提 要** 本文用蒙特卡罗方法计算了重核( $U^{238}$ )在 高能入射质子(235MeV)的轰击下,所产生的核内级联过程。

高能粒子进入核后,在某个时间与核内的一个核子相互作用,接着被碰撞核子又可用同样的方式与核内的其他核子相互作用,这就是核内的级联过程。其中一些级联核子从核内逃脱,称之为级联产物。级联产物出射后,剩余核处于激发态。激发核可通过蒸发粒子来退激。

入射粒子在核中作随机运动(见图1),故可采用蒙特卡罗方法进行跟踪模拟。

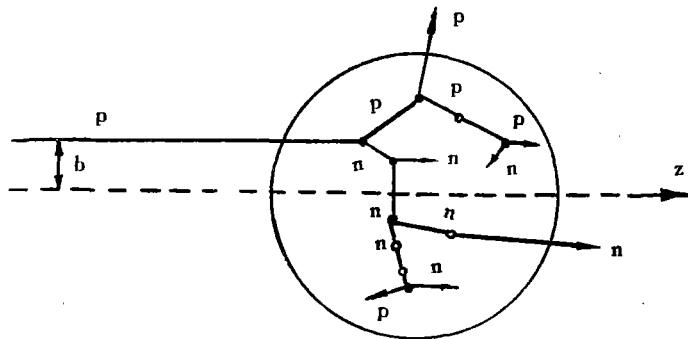


图1 核内级联过程的示意图

图中: ·点表示碰撞位置;

○点表示泡利不相容原理所限制的碰撞位置;

$b$  是碰撞参数;  $n$  表示中子;  $p$  表示质子。

由于是高能入射核子,故核子波长小于核半径,因而核子的运动可半经典的来考虑。

在高能情况下,计算核子在核物质内的平均自由程时,可以把核中的核子看作是温度为绝对零度的费米气体。绝对零度相应于靶核的基态。

## 一、入射粒子进入核时在核表面上的位置与能量

选取反应前原子核的中心为坐标原点,入射粒子在进入核以前的运动方向为  $z$  轴方向,入射粒子在进入核时,在核表面的位置用  $r_0$  表示。由于入射粒子是平行束入射的,因此,若用  $R_0$  表示原子核半径,则  $r_0$  的三个分量可写成

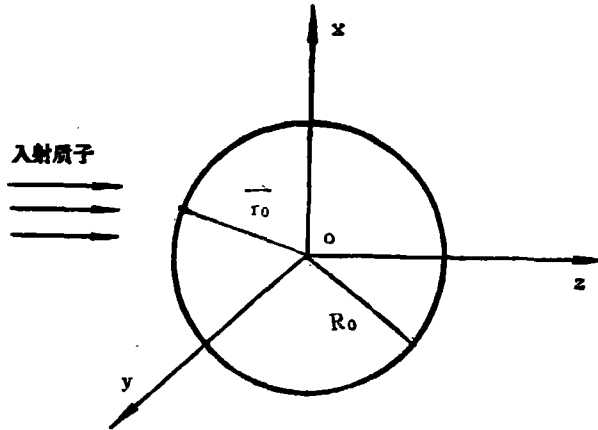


图 2

$$\begin{cases} x_0 = R_0 \sqrt{\xi} \\ y_0 = 0 \\ z_0 = -\sqrt{R_0^2 - x_0^2} = -R_0(1 - \xi)^{1/2} \end{cases}$$

其中： $\xi$  为随机数。

在核表面上，粒子进入核以前的能量  $E_-$  为：

$$E_- = T_0 + m_p C^2 = 1173.2796 \text{ MeV}$$

其中： $T_0$  为进入核以前，粒子的动能。现假设入射的粒子为质子，能量取 235 MeV（能量太高，会有  $\pi$  介子产生）。

$m_p$  为入射质子的静止质量， $m_p = 938.2796 \text{ MeV} \cdot C^{-2}$

$C$  为光速， $C = 2.9979 \times 10^{10} \text{ 厘米/秒}$ 。

粒子进入核以前的动量  $p_-$  为：

$$\begin{aligned} p_- &= \sqrt{\frac{E_-^2}{C^2} - m_p^2 C^2} \quad (\text{即 } E_-^2 = p_-^2 C^2 + m_p^2 c^4) \\ &= 2.3497 \times 10^{-8} \text{ MeV} \cdot \text{秒/厘米} \end{aligned}$$

粒子进入核以前的动量方向

$\vec{p}_- / p_-$  是已知的。为

$$A_- = \cos 90^\circ = 0$$

$$B_- = \cos 90^\circ = 0$$

$$C_- = \cos 0^\circ = 1$$

（因为入射方向平行于  $z$  轴）

（ $A_-$ ， $B_-$ ， $C_-$  为粒子飞行方向的方向余弦）

粒子进入核以后的能量  $E_0$  为：

$$E_0 = T_0 + Q + E_{fp} + m_p C^2$$

其中： $Q$  为结合能， $Q = 7 \text{ MeV}$ ； $E_{fp}$  为质子的费米能量， $E_{fp} = 45.2238 \text{ MeV}$ 。

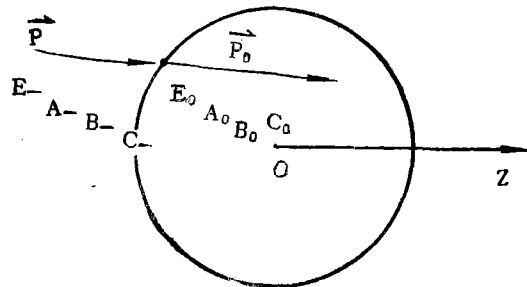


图 3

$E_{fp}$  的计算如下:

原子核取  $U^{238}$  核

$$E_{fp} = \frac{\hbar^2}{2m_p} [3\pi^2\rho]^{2/3}$$

其中  $\hbar$  为普朗克常数,  $\hbar = 6.5821 \times 10^{-22} \text{MeV} \cdot \text{秒}$

$\rho$  为核内的核子数密度,  $\rho = 1.0866 \times 10^{28} \text{个/厘米}^3$

$$\rho = \frac{A}{V} = \frac{A}{\frac{4}{3}\pi R_0^3}$$

其中:  $A$  为原子核的质量数,  $A = 238$ ,

原子核半径  $R_0 = 1.3 \times 10^{-13} A^{1/3}$ 。对于  $U^{238}$ ,

$$R_0 = 8.0563 \times 10^{-13} \text{厘米}。$$

把上述数据代入, 得:

$$E_0 = 1225.5034 \text{MeV}$$

粒子进入核以后的动量  $p_0$  为

$$p_0 = \sqrt{\frac{E_0^2}{C^2} - m_p^2 C^2}$$

粒子进入核以后的动量方向为:

粒子进入核以后的动量方向  $p_0/p_0$  可根据角动量守恒  $\vec{p} \times \vec{r}_0 = \vec{p}_0 \times \vec{r}_0$  确定。

$p_0$  方向的三个方向余弦为

$$A_0 = \frac{x_0}{R_0^2} \left[ -z_0 \frac{p_z}{p_0} - \sqrt{R_0^2 - x_0^2} \frac{p_x^2}{p_0^2} \right]$$

$$B_0 = 0$$

$$C_0 = \sqrt{1 - A_0^2}$$

## 二、平均自由程

设核物质的密度是均匀的, 则入射核子在核物质中的平均自由程  $\lambda$  为:

$$\lambda = \frac{1}{\langle \sigma \rangle \rho} (\text{厘米}) \quad (\lambda = \frac{1}{\Sigma}, \quad \Sigma \text{ 为宏观截面})$$

其中  $\langle \sigma \rangle$  是质心系中, 核内核子对入射粒子的有效微分散射截面,  $\rho$  为核物质密度, 即为核内核子数密度。

$$\langle \sigma \rangle = \sigma_p \left[ 1 - \frac{7}{5} \left( \frac{p_{fp}}{p_0} \right)^2 \right] (\text{毫巴})$$

其中  $p_{fp}$  为质子的费米动量

$$p_{fp} = \hbar [3\pi^2\rho]^{1/3} = 9.717 \times 10^{-9} \text{MeV} \cdot \text{秒/厘米}$$

$\sigma_p$  —— 质子的总散射截面,

$$\sigma_p = \frac{z\sigma_{pp} + (A-z)\sigma_{pn}}{A}$$

其中  $\sigma_{pp}$  为自由质子对质子的有效散射截面;

$\sigma_{pn}$  为自由质子对中子的有效散射截面;

$A$  为  $U^{238}$  核的质量数,  $A=238$ ;

$z$  为  $U^{238}$  核的原子序数,  $z=92$ ;

$$\sigma_{pp} = \frac{10.63}{\beta^2} - \frac{29.92}{\beta} + 42.9 \text{ (毫巴)}$$

$$\sigma_{pn} = \frac{34.4}{\beta^2} - \frac{82.2}{\beta} + 82.2 \text{ (毫巴)}$$

其中

$$\beta = C \frac{p_0}{E_0}$$

### 三、可能碰撞位置

利用平均自由程  $\lambda$ , 可确定可能迁移长度  $d$ :

$$d = -\frac{1}{\Sigma} \ln \xi = -\lambda \ln \xi \text{ (厘米)}$$

那么, 碰撞点坐标为:

$$\begin{cases} x_1 = A_0 d + x_0 \\ y_1 = B_0 d + y_0 \\ z_1 = C_0 d + z_0 \end{cases}$$

若此点在核外, 则说明该粒子穿过了原子核逃掉了。

亦即按余弦定理:

$$\begin{aligned} r_1^2 &= R_0^2 + d^2 - 2R_0 d \cos \theta \\ &= R_0^2 + d^2 + 2R_0 d \cos \theta \end{aligned}$$

其中:

$$\cos \theta = A_0 A' + B_0 B' + C_0 C';$$

$A', B', C'$  是  $\vec{r}_0$  方向的方向余弦;

$A_0, B_0, C_0$  是飞行方向的方向余弦;

$$A' = \frac{x_0}{\sqrt{x_0^2 + y_0^2 + z_0^2}}$$

$$B' = \frac{y_0}{\sqrt{x_0^2 + y_0^2 + z_0^2}}$$

$$C' = \frac{z_0}{\sqrt{x_0^2 + y_0^2 + z_0^2}}$$

当  $r_1 > R_0$  时, 此粒子即从原子核逃掉了。

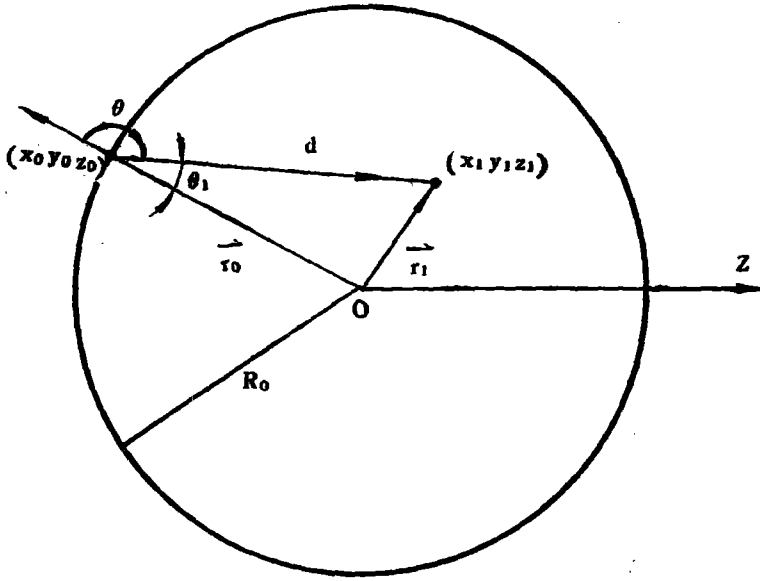


图 4

当迁移长度为  $d$  时，不一定发生真实的碰撞，还要考虑到：碰撞后的两个核子，在  $L$  系中的总能量不一定都大于费米能量，根据泡利不相容原理，此时的碰撞点是虚构的，即是虚碰。

#### 四、允许碰撞位置

##### (1) 选择被碰对象

被碰核子是中子或质子的概率为：

若  $\xi \leq \frac{\sigma_{pp}}{\sigma_{pp} + \sigma_{pn}}$  成立，则与质子相碰，否则与中子相碰。

##### (2) 被碰核子的能量

设被碰核子的动量为  $p$ ，则  $p$  遵从如下分布

$$f(p) = \begin{cases} \frac{3p^2}{p_{fp}^3} & \text{当 } 0 \leq p \leq p_{fp} \\ 0 & \text{其他情况} \end{cases}$$

直接抽样

$$\int_0^p f(p) dp = \xi, \int_0^p \frac{3p^2}{p_{fp}^3} dp = \xi$$

得：

$$\frac{p^3}{p_{fp}^3} = \xi, \quad p = p_{fp} \cdot \sqrt[3]{\xi}$$

于是，被撞核子的能量  $E = (p^2c^2 + m_0^2c^4)^{1/2}$

##### (3) 被撞核子的动量方向

被碰核子的动量方向  $\vec{p}/p$  在  $L$  系中是各向同性的, 故抽样得:

$$\begin{cases} \varphi = 2\pi\xi \\ \mu = 2\xi - 1 \end{cases}$$

其中:  $\mu = \cos\theta$ ,  $\varphi$ ,  $\theta$  如图 5 所示。

动量  $\vec{p}$  的方向为:

$$A = \sin\theta \cos\varphi$$

$$B = \sin\theta \sin\varphi$$

$$C = \cos\theta$$

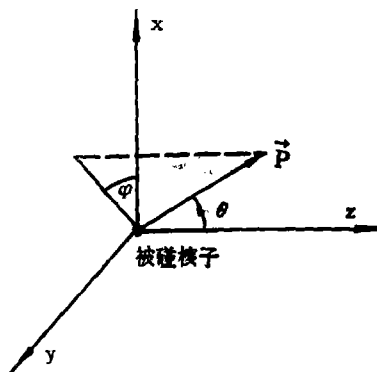


图 5

然后, 求出碰撞后二粒子的总能量  $E_3$  和  $E_4$ 。当  $E_3$  和  $E_4$  同时都大于其相应的费米能量时,

$$E_3 \geq E_{fp} + m_p C^2 = 983.5034 \text{ MeV}$$

$$E_4 \geq E_{fp} + m_p C^2 = 983.5034 \text{ MeV}$$

则位置  $\vec{r}_1(x_1, y_1, z_1)$  为允许碰撞位置, 否则是不允许碰撞位置。

## 五、碰撞后粒子的动量和总能量

选实验室系 ( $L$  系) 和质心系 ( $C$  系)

### (1) $L$ 系到 $C$ 系的动量和总能量

已知  $L$  系中下列各量:

$E_1$  为入射粒子的总能量, 即  $E_0$ ;

$\vec{p}_1$  为入射粒子的动量, 即  $\vec{p}_0$ ;

$E_2$  为被碰核子的总能量, 即上面求得的  $E$ ;

$\vec{p}_2$  为被碰核子的动量, 即上面求得的  $\vec{p}$ 。

根据洛伦兹变换, 可得在  $C$  系中的上述各量如下:

$$\vec{p}'_1 = \vec{p}_1 + \frac{\vec{p}_1 \cdot \vec{V}}{V^2} \vec{V} \left[ \frac{1}{\sqrt{1 - (V/C)^2}} - 1 \right] - \frac{\vec{V} E_1 / C^2}{\sqrt{1 - (V/C)^2}}$$

$$E'_1 = \frac{E_1 - \vec{p}_1 \cdot \vec{V}}{\sqrt{1 - (V/C)^2}}$$

$$\vec{p}'_2 = \vec{p}_2 + \frac{\vec{p}_2 \cdot \vec{V}}{V^2} \vec{V} \left[ \frac{1}{\sqrt{1 - (V/C)^2}} - 1 \right] - \frac{\vec{V} E_2 / C^2}{\sqrt{1 - (V/C)^2}}$$

$$E'_2 = \frac{E_2 - \vec{p}_2 \cdot \vec{V}}{\sqrt{1 - (V/C)^2}}$$

其中  $\vec{V}$  表示质心相对于  $L$  系的速度

$$\vec{V} = \frac{C^2}{E} \vec{p}$$

其中

$$\vec{p} = \vec{p}_1 + \vec{p}_2, \quad E = E_1 + E_2$$

$$V^2 = \left( \frac{C^2}{E} p \right)^2$$

(2) C系到C系, 经散射后的动量和能量

在C系内, 由于动量和能量是守恒的, 因此可以得到散射后二粒子的能量 $E'_3$ 和 $E'_4$

$$E'_3 = E'_4 = \frac{E'}{2}$$

$$E' = E'_1 + E'_2$$

散射后粒子的动量为

$$p'_3 = \sqrt{\left( \frac{E'_3}{C} \right)^2 - (m_p C)^2}$$

其方向由下式定

$$\begin{aligned} \frac{\vec{p}'_3}{p'_3} &= \frac{1}{\alpha} \sin\theta \cos\epsilon \vec{V} + \left( \cos\theta - \frac{\beta}{\alpha} \sin\theta \cos\epsilon \right) \frac{\vec{p}'_1}{p'_1} \\ &+ \frac{1}{\alpha p'_1} \sin\theta \sin\epsilon (\vec{p}'_1 \times \vec{V}) \end{aligned}$$

其中:  $\alpha = (V^2 - \beta^2)^{1/2}$

$$\beta = \frac{\vec{p}'_1 \cdot \vec{V}}{p'_1}$$

$\theta$  表示质心系内的散射角, 遵从微分截面所确定的分布, 现粗略的假设此分布为各向同性分布。 $\epsilon$  表示质心系内的散射方位角, 均匀分布在 $[0, 2\pi]$ 上。

(3) C系到L系的动量和总能量

经散射后, 两个粒子在L系内的动量和总能量分别由下式给出

$$\vec{p}_3 = \vec{p}'_3 + \left( \frac{\vec{p}'_3 \cdot \vec{V}}{V^2} \right) \vec{V} \left( \frac{1}{\sqrt{1 - (V/C)^2}} - 1 \right) + \frac{\vec{V} E'_3 / C^2}{\sqrt{1 - (V/C)^2}}$$

$$E_3 = \frac{E_1 + E_2}{E'} \left[ E'_3 + p'_3 (\beta \cos\theta + \alpha \sin\theta \cos\epsilon) \right]$$

$$\begin{aligned} \vec{p}_4 &= \vec{p}_1 + \vec{p}_2 - \vec{p}_3 \\ E_4 &= E_1 + E_2 - E_3 \end{aligned}$$

## 六、粒子历史的终止

出现以下情况之一时, 粒子的历史被终止:

(1) 总能量 $E_3$ 或 $E_4$ 已经足够小, 小于截断能量, 粒子被终止。

截断能按 Metropolis 取法:

$$E_{cut} = E_f + Q + \frac{ze^2}{R_0}$$

其中  $E_{cut}$  为截断能,  $E_f$  为中子和质子的平均费米能,  $Q$  为最松散核子的平均结合能,  $\frac{ze^2}{R_0}$  为核表面处质子的库仑能。

$$E_f = 45.2238 \text{ MeV}$$

$$Q = 7 \text{ MeV}$$

$$\frac{ze^2}{R_0} = 16.5 \text{ MeV}$$

$$\therefore E_{cut} = 68.7238 \text{ MeV}$$

$$\begin{aligned} \text{当 } E_3 \leq m_p C^2 + E_{cut} &= 938.2796 + 68.7238 \\ &= 1007.0034 \text{ MeV} \end{aligned}$$

或  $E_4 \leq 1007.0034 \text{ MeV}$  时,

粒子被终止。

(2) 粒子飞出核外, 即当  $r_1 \geq R_0$  时, 该粒子飞出核外, 粒子被终止。

## 七、计算框图

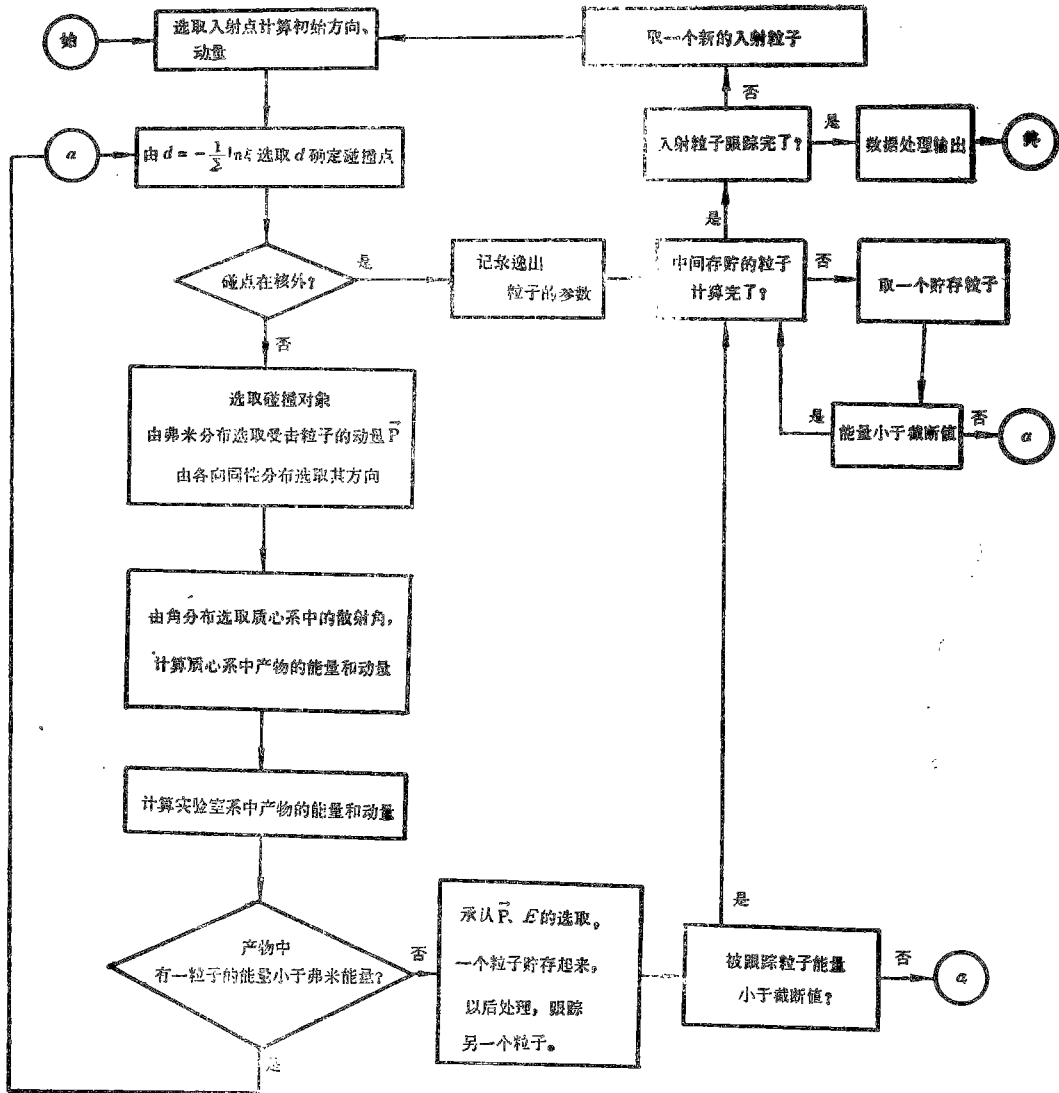
见图 6

## 八、计算结果

用 FORTRAN 语言在 441B 一Ⅱ型机上编制了一个 CAS 程序, 跟踪了 90 个入射粒子, 结果如下:

	文献 [1] 的计算值	本文计算值
透明度	0.084	0.1444
非弹性截面 (巴)	1.88 (查图)	1.744
中子数/质子数	1.62	1.263
激发能 $E^*$ (MeV)	101.1	138.06

此外还计算了中子能谱, 质子能谱及角分布。



碰撞，由虚拟碰撞点计算飞行距离

图 6

## 参 考 文 献

- [1] N. Metropolis et al., Phys. Rev. **110**, 185 (1958); **110**, 204 (1958).  
[2] H. W. Bertini, ORNL-3383 (1963).  
[3] 裴鹿成、张孝泽, 蒙特卡罗方法及其在粒子输运问题中的应用, 科学出版社 (1980).  
[4] A. C. 达维多夫, 原子核理论, 上海科技出版社 (1963).

## The Intranuclear Cascade Process Induced by the High-Energy Protons

Chen Xiang

### Abstract

In this paper, the Monte-Carlo method was used to calculate the intranuclear cascade process induced in the heavy nuclei ( $U^{238}$ ) under the bombardment of the high-energy (235 MeV) incident protons.